

Starkniederschlagshöhen und -spenden gemäß KOSTRA-DWD-2020

Rasterfeld 209128

(Zeile 209, Spalte 128)

Regenspende und Bemessungsniederschlagswerte in Abhängigkeit von Wiederkehrzeit T und Dauerstufe D

| Dauerstufe D | | Wiederkehrzeit T | | | | | | | | | | | | | | | | | |
|--------------|-----|------------------|------------|------|------------|------|------------|-------|------------|-------|------------|-------|------------|-------|------------|-------|------------|-------|------------|
| | | 1 a | | 2 a | | 3 a | | 5 a | | 10 a | | 20 a | | 30 a | | 50 a | | 100 a | |
| min | Std | mm | l / (s ha) | mm | l / (s ha) | mm | l / (s ha) | mm | l / (s ha) | mm | l / (s ha) | mm | l / (s ha) | mm | l / (s ha) | mm | l / (s ha) | mm | l / (s ha) |
| 5 | | 7,5 | 250,0 | 9,2 | 306,7 | 10,2 | 340,0 | 11,5 | 383,3 | 13,5 | 450,0 | 15,5 | 516,7 | 16,8 | 560,0 | 18,5 | 616,7 | 20,9 | 696,7 |
| 10 | | 10,0 | 166,7 | 12,2 | 203,3 | 13,6 | 226,7 | 15,4 | 256,7 | 18,0 | 300,0 | 20,6 | 343,3 | 22,4 | 373,3 | 24,6 | 410,0 | 27,9 | 465,0 |
| 15 | | 11,6 | 128,9 | 14,1 | 156,7 | 15,7 | 174,4 | 17,8 | 197,8 | 20,8 | 231,1 | 23,8 | 264,4 | 25,8 | 286,7 | 28,5 | 316,7 | 32,2 | 357,8 |
| 20 | | 12,8 | 106,7 | 15,6 | 130,0 | 17,3 | 144,2 | 19,6 | 163,3 | 22,8 | 190,0 | 26,2 | 218,3 | 28,4 | 236,7 | 31,3 | 260,8 | 35,4 | 295,0 |
| 30 | | 14,5 | 80,6 | 17,6 | 97,8 | 19,6 | 108,9 | 22,2 | 123,3 | 25,9 | 143,9 | 29,7 | 165,0 | 32,2 | 178,9 | 35,5 | 197,2 | 40,2 | 223,3 |
| 45 | | 16,3 | 60,4 | 19,8 | 73,3 | 22,0 | 81,5 | 24,9 | 92,2 | 29,1 | 107,8 | 33,4 | 123,7 | 36,2 | 134,1 | 39,9 | 147,8 | 45,2 | 167,4 |
| 60 | 1 | 17,6 | 48,9 | 21,5 | 59,7 | 23,9 | 66,4 | 27,0 | 75,0 | 31,6 | 87,8 | 36,2 | 100,6 | 39,3 | 109,2 | 43,3 | 120,3 | 49,0 | 136,1 |
| 90 | 1,5 | 19,7 | 36,5 | 24,0 | 44,4 | 26,7 | 49,4 | 30,2 | 55,9 | 35,3 | 65,4 | 40,5 | 75,0 | 43,9 | 81,3 | 48,4 | 89,6 | 54,8 | 101,5 |
| 120 | 2 | 21,3 | 29,6 | 26,0 | 36,1 | 28,8 | 40,0 | 32,6 | 45,3 | 38,1 | 52,9 | 43,7 | 60,7 | 47,4 | 65,8 | 52,2 | 72,5 | 59,1 | 82,1 |
| 180 | 3 | 23,7 | 21,9 | 28,9 | 26,8 | 32,1 | 29,7 | 36,3 | 33,6 | 42,4 | 39,3 | 48,6 | 45,0 | 52,7 | 48,8 | 58,1 | 53,8 | 65,8 | 60,9 |
| 240 | 4 | 25,5 | 17,7 | 31,1 | 21,6 | 34,6 | 24,0 | 39,1 | 27,2 | 45,7 | 31,7 | 52,4 | 36,4 | 56,9 | 39,5 | 62,6 | 43,5 | 70,9 | 49,2 |
| 360 | 6 | 28,4 | 13,1 | 34,6 | 16,0 | 38,4 | 17,8 | 43,5 | 20,1 | 50,7 | 23,5 | 58,2 | 26,9 | 63,2 | 29,3 | 69,6 | 32,2 | 78,8 | 36,5 |
| 540 | 9 | 31,5 | 9,7 | 38,4 | 11,9 | 42,6 | 13,1 | 48,3 | 14,9 | 56,3 | 17,4 | 64,6 | 19,9 | 70,1 | 21,6 | 77,2 | 23,8 | 87,5 | 27,0 |
| 720 | 12 | 33,9 | 7,8 | 41,3 | 9,6 | 45,9 | 10,6 | 51,9 | 12,0 | 60,6 | 14,0 | 69,6 | 16,1 | 75,5 | 17,5 | 83,1 | 19,2 | 94,2 | 21,8 |
| 1080 | 18 | 37,6 | 5,8 | 45,8 | 7,1 | 50,9 | 7,9 | 57,6 | 8,9 | 67,3 | 10,4 | 77,2 | 11,9 | 83,7 | 12,9 | 92,2 | 14,2 | 104,4 | 16,1 |
| 1440 | 24 | 40,5 | 4,7 | 49,3 | 5,7 | 54,8 | 6,3 | 62,0 | 7,2 | 72,4 | 8,4 | 83,1 | 9,6 | 90,1 | 10,4 | 99,3 | 11,5 | 112,4 | 13,0 |
| 2880 | 48 | 48,3 | 2,8 | 58,9 | 3,4 | 65,4 | 3,8 | 74,0 | 4,3 | 86,4 | 5,0 | 99,1 | 5,7 | 107,5 | 6,2 | 118,4 | 6,9 | 134,1 | 7,8 |
| 4320 | 72 | 53,5 | 2,1 | 65,2 | 2,5 | 72,5 | 2,8 | 82,0 | 3,2 | 95,7 | 3,7 | 109,9 | 4,2 | 119,2 | 4,6 | 131,3 | 5,1 | 148,7 | 5,7 |
| 5760 | 96 | 57,6 | 1,7 | 70,2 | 2,0 | 78,0 | 2,3 | 88,2 | 2,6 | 103,0 | 3,0 | 118,2 | 3,4 | 128,2 | 3,7 | 141,3 | 4,1 | 160,0 | 4,6 |
| 7200 | 120 | 61,0 | 1,4 | 74,3 | 1,7 | 82,6 | 1,9 | 93,4 | 2,2 | 109,0 | 2,5 | 125,1 | 2,9 | 135,7 | 3,1 | 149,5 | 3,5 | 169,3 | 3,9 |
| 8640 | 144 | 63,9 | 1,2 | 77,8 | 1,5 | 86,5 | 1,7 | 97,8 | 1,9 | 114,2 | 2,2 | 131,1 | 2,5 | 142,1 | 2,7 | 156,6 | 3,0 | 177,4 | 3,4 |
| 10080 | 168 | 66,4 | 1,1 | 80,9 | 1,3 | 89,9 | 1,5 | 101,7 | 1,7 | 118,8 | 2,0 | 136,3 | 2,3 | 147,8 | 2,4 | 162,9 | 2,7 | 184,4 | 3,0 |

Starkniederschlagshöhen und -spenden gemäß KOSTRA-DWD-2020

Rasterfeld 209128

(Zeile 209, Spalte 128)

Örtliche Unsicherheiten in Abhängigkeit von Wiederkehrzeit T und Dauerstufe D

| Dauerstufe D | | Wiederkehrzeit T | | | | | | | | |
|--------------|-----|------------------|-----|-----|-----|------|------|------|------|-------|
| | | 1 a | 2 a | 3 a | 5 a | 10 a | 20 a | 30 a | 50 a | 100 a |
| min | Std | ± % | ± % | ± % | ± % | ± % | ± % | ± % | ± % | ± % |
| 5 | | 18 | 18 | 19 | 19 | 20 | 21 | 21 | 21 | 22 |
| 10 | | 21 | 22 | 23 | 24 | 24 | 25 | 25 | 26 | 26 |
| 15 | | 23 | 24 | 25 | 26 | 26 | 27 | 27 | 28 | 28 |
| 20 | | 24 | 25 | 26 | 26 | 27 | 28 | 28 | 29 | 29 |
| 30 | | 24 | 26 | 26 | 27 | 28 | 29 | 29 | 29 | 30 |
| 45 | | 24 | 26 | 26 | 27 | 28 | 29 | 29 | 29 | 30 |
| 60 | 1 | 24 | 25 | 26 | 27 | 28 | 28 | 29 | 29 | 29 |
| 90 | 1,5 | 23 | 24 | 25 | 26 | 26 | 27 | 27 | 28 | 28 |
| 120 | 2 | 22 | 23 | 24 | 24 | 25 | 26 | 26 | 27 | 27 |
| 180 | 3 | 20 | 22 | 22 | 23 | 24 | 24 | 25 | 25 | 26 |
| 240 | 4 | 19 | 21 | 21 | 22 | 23 | 23 | 24 | 24 | 24 |
| 360 | 6 | 18 | 19 | 20 | 20 | 21 | 22 | 22 | 22 | 23 |
| 540 | 9 | 17 | 18 | 19 | 19 | 20 | 20 | 21 | 21 | 22 |
| 720 | 12 | 17 | 18 | 18 | 19 | 19 | 20 | 20 | 20 | 21 |
| 1080 | 18 | 17 | 17 | 18 | 18 | 19 | 19 | 19 | 20 | 20 |
| 1440 | 24 | 17 | 18 | 18 | 18 | 18 | 19 | 19 | 19 | 20 |
| 2880 | 48 | 19 | 19 | 19 | 19 | 19 | 19 | 19 | 20 | 20 |
| 4320 | 72 | 21 | 21 | 21 | 20 | 20 | 20 | 20 | 20 | 21 |
| 5760 | 96 | 23 | 22 | 22 | 22 | 22 | 21 | 21 | 21 | 21 |
| 7200 | 120 | 24 | 23 | 23 | 23 | 23 | 22 | 22 | 22 | 22 |
| 8640 | 144 | 25 | 24 | 24 | 24 | 23 | 23 | 23 | 23 | 23 |
| 10080 | 168 | 26 | 25 | 25 | 25 | 24 | 24 | 24 | 24 | 24 |

Parameter für abweichende T und D

Lokationsparameter ξ (Xi)

18,08226494

Skalenparameter α (Alpha)

5,49659271

Formparameter κ (Kappa)

-0,1

1. Koutsoyiannis-Parameter θ (Theta)

0,03217794

2. Koutsoyiannis-Parameter η (Eta)

0,74596127

Parameter für dauerstufenübergreifende Extremwertschätzung nach KOUTSOYIANNIS et al. 1998.

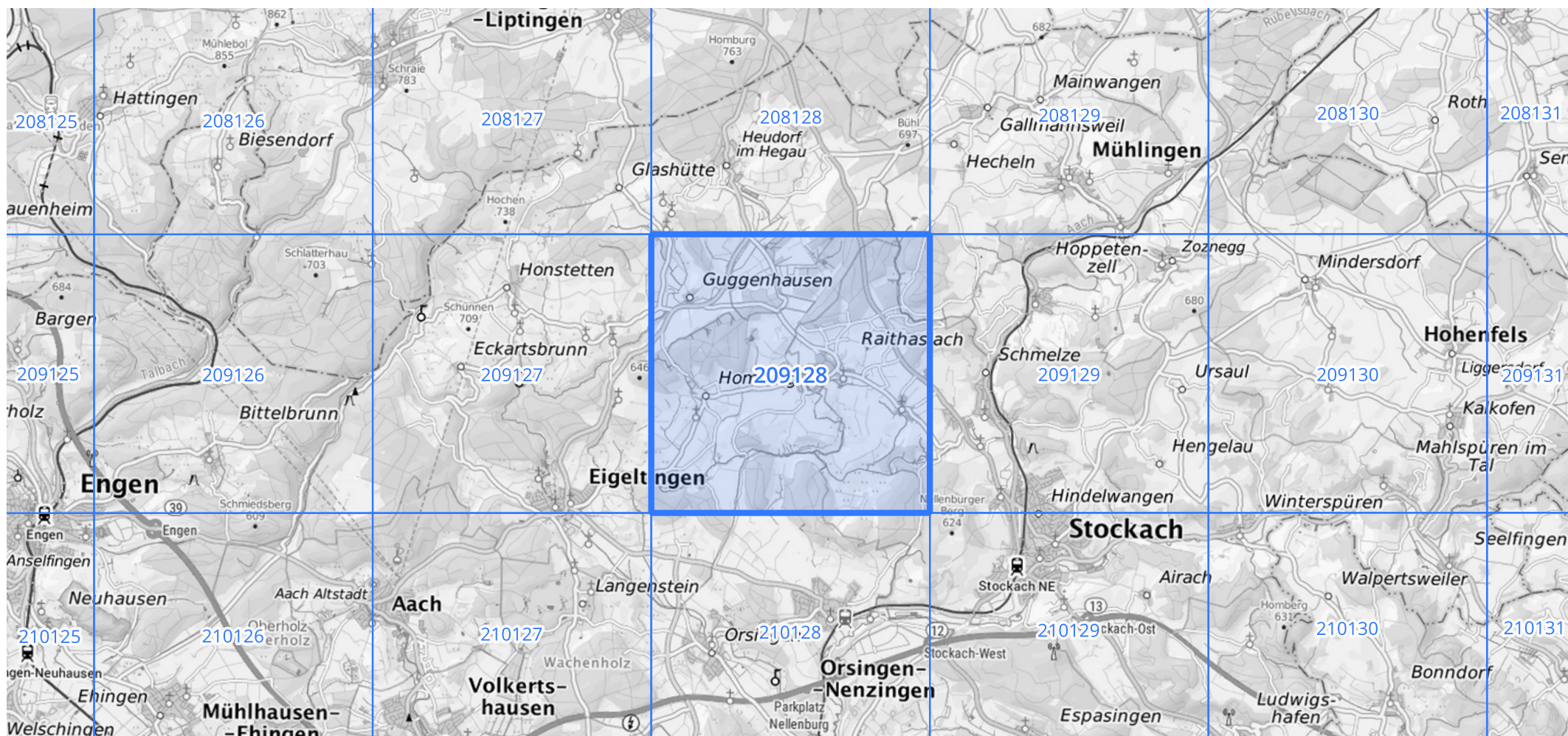
Siehe auch Anwendungshilfe zu KOSTRA-DWD-2020 des Deutschen Wetterdienstes.

Starkniederschlagshöhen und -spenden gemäß KOSTRA-DWD-2020

Rasterfeld 209128

(Zeile 209, Spalte 128)

Übersichtskarte des Rasterfeldes 209128, M 1 : 100 000



Quelle Rasterdaten: KOSTRA-DWD-2020 des Deutschen Wetterdienstes, Stand 12/2022.

Seite 3 von 3

Kartendarstellung: © Bundesamt für Kartographie und Geodäsie (2023), Datenquellen: https://sgx.geodatenzentrum.de/web_public/gdz/datenquellen/Datenquellen_TopPlusOpen.html

Für die Richtigkeit und Aktualität der Angaben wird keine Gewähr übernommen. Erstellt 01/2023.